•基础研究•

低密度脂蛋白免疫复合物对巨噬细胞细胞因子分泌的影响

倪晓晴 朱健华 姜胜华 王忠勇

【摘要】目的 探讨低密度脂蛋白免疫复合物(LDL-IC)对巨噬细胞细胞因子分泌的影响。方法 设立终浓度均为 150 μg/ml 的 LDL组、LDL-IC 组、IgG-IC 组及阴性对照组与细胞孵育相同时间,以 ELISA 法检测比较培养上清 TNF-α和 IL-1β水平。并观察不同 LDL-IC 浓度(0,50,100,150,200,250 μg/ml)作用相同时间以及终浓度为 150 μg/ml 的 LDL-IC 与细胞作用不同的时间(0,3,6,12,24,36 h),培养上清 TNF-α和 IL-1β水平。结果 LDL-IC 组培养上清 TNF-α、IL-1β水平均明显高于 LDL、IgG-IC 及阴性对照组。TNF-α、IL-1β水平随着 LDL-IC 作用浓度的增加和作用时间的延长而增高。结论 LDL-IC 可以显著增加细胞 TNF-α和 IL-1β的分泌,具有剂量和时间依赖效应。提示 LDL-IC 能通过增加细胞因子分泌而在动脉粥样硬化中起重要作用。

【关键词】 脂蛋白类,LDL 胆固醇;抗原抗体复合物;单核巨噬细胞;动脉硬化

The effect of LDL-containing immune complexes on the secretion of cytokines in macrophages

NI Xiaoqing , ZHU Jianhua , JIANG Shenghua , et al

Department of Geriatric Disease, the First Affiliated Hospital, Nantong University, Nantong 226001, China

[Abstract] Objective To study the effect of LDL-containing immune complexes (LDL-IC) on the secretion of cytokines in macrophages. Methods Four matched groups were set namely 150 μ g/ml of LDL-IC, native LDL, immune complexes of IgG (IgG-IC) and negative control, and incubated with macrophages for the same duration. The concentrations of TNF- α and IL-1 β in the supernatant were determined by enzyme linked immunosorbent assay. Moreover, for investigating the changes of the secretion of the cytokines, the macrophages were incubated with different concentrations of LDL-IC (0,50,100,150,200,250 μ g/ml) or with 150 μ g/ml LDL-IC for different periods (0,3,6,12,24,36 h). Results The TNF- α and IL-1 β levels of the cells treated with LDL-IC were higher than the groups treated with LDL-IgG-IC and negative control (P < 0.01). The TNF- α and IL-1 β levels were increased with increasing LDL-IC concentration and prolonging incubation time. Conclusions The secretion of TNF- α and IL-1 β was markedly increased after the cells were incubated with LDL-IC and there were dose-and time-dependent effects. LDL-IC may play an important role in the development of atherosclerosis by interference of cytokine secretion.

[Key words] lipoproteins, LDL cholesterol; antigen-antibody complex; monocyte-derived macrophage; atherosclerosis

动脉粥样硬化(atherosclerosis, AS)是一个影响多脏器的多因素疾病。目前已经公认低密度脂蛋白(low density lipoprotein, LDL)在 AS 中起重要致病作用。已知LDL有多种氧化及修饰形式,其中低密度脂蛋白免疫复合物(low density lipoprotein containing immune complex, LDL-IC)是 LDL 的一种免疫修饰形式。在临床研究中发现,冠状动脉粥样硬化性心脏病患者不仅抗 LDL 抗体活性增高而且 LDL-IC 水平高于对照组,心肌梗死患者具有较高的循环免疫复合物水平,LDL 更多以抗原的形式包含于其中[11]。一项前瞻性流行病学在8年中

对 98 名糖尿病患者调查研究表明,LDL-IC 的浓度与冠状动脉病变进展有关^[2]。Bing 等^[3] 在临床冠心病患者中发现血清 oxLDL 水平与循环 LDL 免疫复合物水平呈正相关。这些提示,在循环和(或)组织中存在的包含低密度脂蛋白的免疫复合物,在 AS 过程中可能扮演了更重要的角色。Huang 等^[4] 认为,由人 LDL 与兔抗 LDL 形成的免疫复合物可作为研究 LDL-IC 与巨噬细胞相互作用的模型,常用来体外研究 LDL-IC 的致动脉硬化作用。在 AS 过程中 LDL-IC 对巨噬细胞作用的有关研究国内尚未见报道。我们通过佛波酯(phorbol 12-myristate 13-acetate,PMA)诱导的 THP-1 细胞形成巨噬细胞,观察 LDL-IC 对巨噬细胞肿瘤坏死因子-α(tumor necrosis factor,TNF-α)和白介素-1β(interleukin 1β, IL-1β)分泌的作用。

收稿日期:2004-08-23

作者单位:226001 南通市,南通大学第一附属医院老年科

作者简介:倪晓晴,女,1973年9月生,江苏启东人,医学硕士,主治医

师。E-mail:nixiao1973@hotmail.com

1 材料和方法

- 1.1 材料 单核细胞株 THP-1 来自上海细胞所, LDL购自美国 Calbiochem 公司, 系人血浆超速离心所得; 抗 LDL 抗体购自上海明华体外诊断公司; RPMI1640培养基和特级胎牛血清均购自 Gibco 公司, 无脂人白蛋白购自美国 Sigma 公司, 佛波酯购自美国 Alexis 公司, TNF-α与 IL-1β ELISA 试剂盒均购自美国 TPI 公司。
- 1.2 LDL-IC 的制备 100 μ l 抗 LDL 与不同 LDL (5~1000 μ)以不同比例混合,根据抗原抗体反应吸光度曲线,确定产生最多量沉淀物的比例是 1:10 (wt/wt)。同样用人 IgG 和兔抗人 IgG 制备对照免疫复合物。将免疫复合物 2000 r/min 离心,沉淀重溶于0.01 mol/L PBS 溶液,Lowry 法测定 LDL-IC 蛋白含量及对照免疫复合物的蛋白含量。
- 1.3 细胞培养 THP-1 细胞生长于含有 10% 胎牛血清的 RPMI 1640 培养基,细胞密度在 1.0×10⁶/ml 左右、活力 > 95% 时用于实验。调整各瓶细胞数相等,加人终浓度为 100 ng/ml 的 PMA 孵育 36 h,弃悬浮细胞及培养液,预温 1×PBS 轻洗 1次,加入等量无血清无脂的 1640 培养基分组实验。
- 1.4 分组 (1)分为 LDL 组、LDL-IC 组、阴性对照 组、IgG-IC组共4组。除阴性对照组外,其余物质终 浓度均为 150 µg/ml,均与细胞作用 36 h。每组重复 3次。(2)不同浓度的 LDL-IC 与细胞孵育 36 h:分别 加入终浓度为 0,50,100,150,200,250 µg/ml 的 LDL-IC,观察培养上清 TNF-α、IL-1β含量的变化。重复实 验 3 次。(3) 同一浓度的 LDL-IC 与细胞作用不同时 间:选择终浓度为 150 µg/ ml 的 LDL-IC 分别与细胞 孵育 0,3,6,12,24,36 h,观察培养上清 TNF-α、IL-1β 含量的变化。重复实验 3 次。(4)培养上清 TNF-α 的测定:反应板中分别加入5 山标准品、5 山样品, 混匀 10 s。每孔加入 200 μl Biotin anti TNF-α,37℃ 30 min,洗板,再加入 150 μl 辣根过氧化物酶(horseradifh peroxidase, HRP), 37℃30 min, 洗板后显色20 min.450 nm 处读 OD 值。以不同浓度的标准品所对 应的 OD 值绘制标准曲线,在标准曲线上查出所测 样本的浓度。(5)培养上清 IL-13 的测定:反应板中 加入10 山标准品、10 山 样品。每孔加入 50 山 Anti IL-1β Biotin 和 50 μl Anti IL-1β POD,混匀 30 s,室温 45 min, 洗板后显色 20 min。450 nm 处读 OD 值。根 据标准品浓度对应的 OD 值绘制标准曲线,在标准 曲线上查出所测样本的浓度。

1.5 统计学处理 各数值均以 $\bar{x} \pm s$ 表示,多组均数的比较采用单因素方差分析,方差分析后两两比较用 Scheffe 法。以 P < 0.05 表示差异的显著性意义。

2 结 果

2.1 不同组别 TNF 比較 LDL 组 (1685.8 ± 72.4) pg/ ml、LDL-IC 组 (2756.7 ± 34.7) pg/ml、IgG-IC 组 (2052.9 ± 22.2) pg/ml 与阴性对照组 (121.9 ± 22.6) pg/ml 比较, TNF- α 均有不同程度的升高,差异有统计学意义 (P < 0.01)。 其中 LDL-IC 组 TNF- α 的含量最高,与 LDL 组及 IgG-IC 组比较,差异有统计学意义 (P < 0.01)。 可见, LDL、LDL-IC、IgG-IC 都能显著促进细胞因子 TNF- α 的分泌,但 LDL-IC 的效应最强(图 1)。

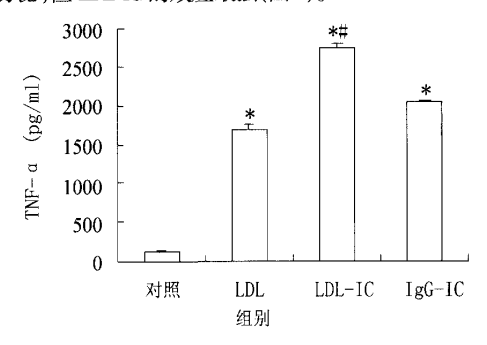


图 1 不同组别细胞培养上清 TNF- α 含量比较 与阴性对照组比较,* P < 0.01;与 LDL、IgG-IC 组比较,* P < 0.01

2.2 不同组别 IL-1 β 的比较 阴性组与 LDL 组的 IL-1 β 含量极低,不在试剂盒的检测范围内。LDL-IC 组 IL-1 β 含量为 (12.00 ± 0.36) pg/ml, IgG-IC 组为 (1.50 ± 0.50) pg/ ml, 二者差异有统计学意义 (P < 0.01)。说明 LDL-IC 能较 IgG-IC、LDL 明显增加 IL-1 β 的产生 (图 2)。

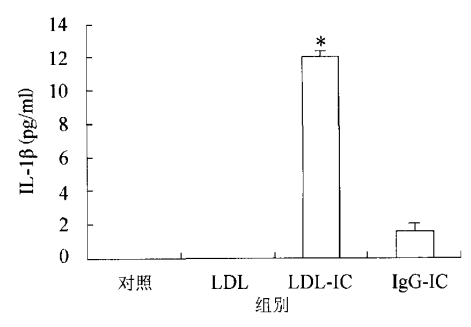


图 2 不同组别培养上清 IL-1β含量的比较 与 IgG-IC 组比较,* P<0.01

2.3 不同 LDL-IC 浓度对上清细胞因子的影响 (1) 不同 LDL-IC 浓度对 TNF-α 的影响: 随 LDL-IC 浓度增 加,TNF-α的变化呈递增趋势。在 0~150 μg/ml 范围 内, TNF- α 的值上升较快, 几乎呈直线上升, 0 $\mu g/ml$ 时 为(121.9 ± 22.6) pg/ml, 50 μg/ml 时(1280.9 ± 34.4)pg/ml, 100μ g/ml 时(1862.7 ± 31.7)pg/ml, 150μ g/ ml 时(2756.7 ± 34.7) pg/ml; 相邻点间比较, P 均 < (0.01), 当 LDL-IC 浓度继续升高时, TNF- α 的值处于较 高水平, 变化趋于平缓, 150 ug/ml 与 200 ug/ml 时 (2687.7 ± 38.0) pg/ml, 250 μ g/ml 时 $(2708.2 \pm$ 22.8)pg/ml,两两比较 P > 0.05;图 3。(2)不同浓度 LDL-IC 作用下 IL-13 的变化: LDL-IC 浓度 ≤ 100 µg/ml 时, IL-1β 值较低, 不在试剂盒可检测的线性范围内, 故没有明显上升。在 LDL-IC 浓度达到 150 µg/ml 时, 出现了 IL-1β的分泌明显地增加(12.00±0.36)pg/ml, 而 LDL-IC 浓度继续增加, IL-1β 含量处于较高水平, 变化没有统计学意义(P > 0.05;图 4)。

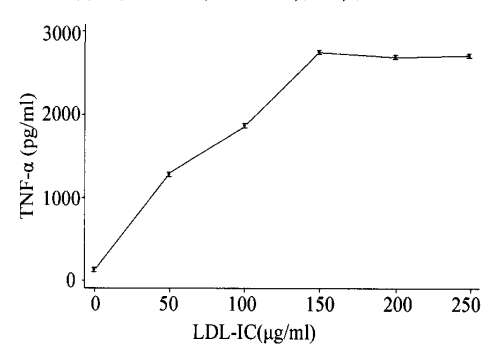


图 3 不同 LDL-IC 浓度孵育 36 h 上清 TNF-α 的变化

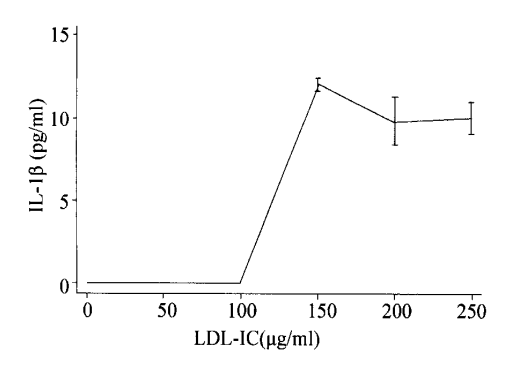


图 4 培养上清 IL-1β 含量随 LDL-IC 浓度的变化

2.4 不同作用时间对细胞因子的影响 (1)不同作用时间 TNF-α 的变化:随着作用时间的延长,TNF-α 亦逐步上升。在0~24 h 内上升早而迅速,由0~3 h

(862.73±9.67)pg/ml、6 h(1198.90±17.32) pg/ml、12 h(1531.90±67.85)pg/ml、24 h(2639.80±42.65)pg/ml,相邻两个时间点比较 P 均 < 0.01;24~36 h(2756.7±34.7)pg/ml 达到一个稳定而较高的水平(与 24 h 前各个时间点相比,P 均 < 0.01;24 h 与36 h 相比,P > 0.05;图 5)。(2)不同作用时间 IL-1 β 的变化:在加入 LDL-IC 最初 6 h,IL-1 β 含量极低,所以 6 h 内 IL-1 β 的值未观察到可见的变化。作用时间达到 12 h 时 IL-1 β 有所增高(8.00±0.30)pg/ml,24 h(10.00±0.70)pg/ml、36 h(12.00±0.36)pg/ml,呈稳步上升趋势(两两比较 P < 0.01;图 6)。

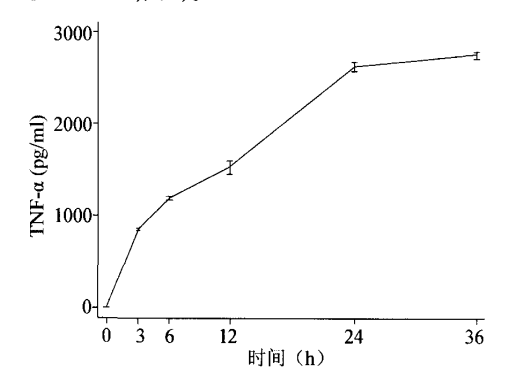


图 5 150 μg/ml LDL-IC 作用下 TNF-α 随时间的变化

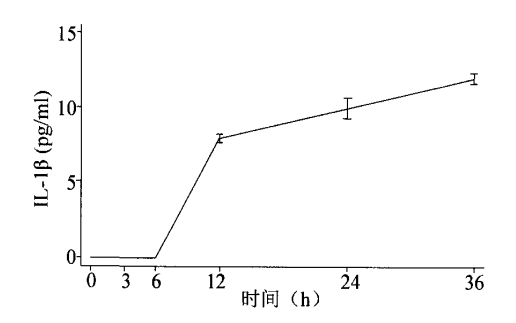


图 6 IL-1β含量随 LDL-IC 的作用时间变化

3 讨论

在 AS 的早期阶段,循环中的单核细胞黏附到血管壁,继而在局部产生的趋化分子的作用下侵入到内皮下,进一步分化为巨噬细胞,在动脉粥样硬化形成过程中起重要作用。

在体内 LDL 被化学修饰后结构发生了变化,从而具有了免疫原性,致使体内产生相应的抗体。在循环及 AS 损伤部位可以检测到抗氧化型 LDL 的自身抗体。这些自身抗体与 LDL 发生交叉免疫反应,

形成了免疫复合物^[5]。Kiener等^[6]发现LDL-IC 较乙酰化LDL更能促进活性氧的释放,能促进LDL的氧化,LDL-IC 亦能促进清道夫受体的表达,故更能促进AS的发生发展。从整体效应上比较氧化型LDL与LDL-IC 致AS作用的差别,尚待深入研究。

目前除了脂质紊乱因素外,免疫炎症在 AS 中的 作用也日益受到重视。已经证实人 AS 损害部位含有 多种细胞因子,包括 TNF-α 及 IL-1。 TNF-α 及 IL-1 在 血管及其他部位均是局部炎症的强有力的诱导剂,它 们又可以进一步激活巨噬细胞,诱导巨噬细胞金属基 质蛋白酶 MMP-9 的分泌和增加内皮细胞、平滑肌细 胞 MMP 的表达[7,8],它们可以通过旁路诱导内皮细胞 VCAM-1 的表达,在粥瘤损伤部位刺激单核细胞的聚 集及在内皮下的滯留;它们还能够通过各种复杂和间 接的途径影响平滑肌细胞的增殖,在粥瘤进展中起一 定的致病作用。另一方面,它们在代谢方面也有较强 的作用,它们是脂蛋白脂酶的强力的抑制剂,可以导 致极低密度脂蛋白水平升高及高甘油三酯血症。另 外,它们对糖和能量代谢有重要影响。极低水平的 TNF 可以导致代谢的改变,如高甘油三酯血症、脂肪 的重分配、胰岛素的敏感性降低[9,10]。

其中 TNF-α 能诱导细胞表面促凝血因子的表达,促进内皮细胞产生白介素。TNF-α 和白介素活化的内皮细胞可促进白细胞功能相关抗原-1 的表达,从而增强白细胞-内皮细胞间的相互作用。TNF-α 还可以减少一氧化氮的生成、增加血管通透性、诱导 MCP-1 产生^[11],增加 ICAM-1 的表达^[12],对AS产生重要影响。

IL-1 可以促进内皮细胞表面促凝血活性和血小板激活因子的合成及表达。后者可增强粒细胞间的相互作用,增加血管通透性,通过正反馈机制诱导内皮细胞释放白介素,诱导血小板源性生长因子-AA,间接通过自分泌生长调节机制引起成纤维细胞和平滑肌细胞增殖。IL-1 也是 T 细胞激活的重要的协同刺激因子。

在此次实验中作者观察到巨噬细胞在 LDL-IC 的作用下表现为被 LDL-IC 激活,促进了炎性介质 TNF-α和 IL-Iβ 的分泌。通过组间比较,可以看到同样条件下,LDL-IC 更能促进单核细胞源性巨噬细胞细胞因子的分泌,并且呈剂量和时间依赖效应。实验通过设立对照组的研究,观察到 LDL-IC 所产生的诸多效应有别于一般的免疫复合物,也不是单独 LDL 的成分所

致,故可以认为 LDL-IC 是作为一个新的独立成分而在 AS 中发挥作用。这些说明 LDL-IC 可能通过增加细胞因子分泌这一复杂的途径而在 AS 损害中扮演着重要角色。提示 LDL-IC 是 AS 进展过程中的重要因子,这为抗糖化抗氧化治疗以及他汀类等调节免疫、抗炎药物在防治 AS 方面的应用提供了依据,进一步支持了防治 AS 的新的治疗方向。

参考文献

- 1 Tsimikas S, Bergmark C, Beyer RW, et al. Temporal increases in plasma markers of oxidized low-density lipoprotein strongly reflect the presence of acute coronary syndromes. J Am Coll Cardiol, 2003, 41: 360-370.
- 2 Lopes-Virella MF, Virella G, Orchard TJ, et al. Antibodies to oxidized LDL and LDL-containing immune complexes as risk factors for coronary artery disease in diabetes mellitus. Clin Immunol, 1999, 90:165-172.
- 3 Bing H, Wang J, Zhang C, et al. Positive correlation between in vivo oxidized LDL and LDL immune complexes. Clin Biochem, 2004, 37:72-75.
- 4 Huang Y, Ghosh MJ, Lopes-Virella MF. Transcriptional and post- transcriptional regulation of LDL receptor gene expression in PMA- treated THP-1 cells by LDL-containing immune complexes. J Lipid Res, 1997, 38:110.
- Lopes-Virella MF, Virella G. Atherosclerosis and autoimmunity. Clin Immunol Immunopathol, 1994, 73;155-167.
- 6 Kiener PA, Rankin BM, Davis PM, et al. Immune complexes of LDL induce atherogenic responses in human monocytic cells. Arterioscl Thromb Vasc Biol, 1995, 15; 990-999.
- 7 Saren P, Welgus HG, Kovanen PT. TNF-α and IL-1β selectively induce expression of 92-kDa gelatinase by human macrophages. J Immunol, 1996, 157: 4159-4165.
- 8 Kovanen PT, Kaartinen M, Paavonen T. Infiltrates of activated mast cells at the site of coronary atheromatous erosion or rupture in myocardial infarction. Circulation, 1995, 92; 1084-1088.
- 9 Nilsson J, Jovinge S, Niemann A, et al. Relation between plasma tumor necrosis factor-α and insulin sensitivity in elderly men with non-insulin-dependent diabetes mellitus. Arterioscl Thromb Vasc Biol, 1998, 18: 1199-1202.
- 10 Jovinge S, Hamsten A, Tornvall P, et al. Evidence for a role of tumor necrosis factor-α in disturbances of triglyceride and glucose metabolism predisposing to coronary heart disease. Metabolism, 1998, 47: 113-118.
- 11 Kumar AG, Ballantyne CM, Michael LH, et al. Induction of monocyte chemoattractant protein-1 in the small veins of the ischemic and reperfused canine myocardium. Circulation, 1997, 95: 693-700.
- 12 Frangogiannis NG, Lindsey ML, Michael LH, et al. Resident cardiac mast cells degranulate and release preformed TNF-α, initiating the cytokine cascade in experimental canine myocardial ischemia/ reperfusion. Circulation, 1998, 98: 699-710.